

УДК 539.3+624.131.522

## НАПРЯЖЕНИЯ В ВЕСОМОЙ ПОЛУПЛОСКОСТИ, СОДЕРЖАЩЕЙ ПОЛУКРУГЛУЮ ВЫЕМКУ

А. Д. Заикин

Новосибирский государственный университет, 630090 Новосибирск

Исследуется влияние рельефа поверхности на напряженное состояние горного массива. Для находящейся в поле силы тяжести упругой полуплоскости, содержащей выемку в форме полуокружности, построено распределение напряжений. Установлено, что в зависимости от коэффициента Пуассона дно выемки может находиться в состоянии как растяжения, так и сжатия. На оси симметрии приведена полиномиальная зависимость давления от глубины.

Напряженное состояние геологического разреза зависит от рельефа сейсмических границ [1]. Для анализа напряжений, обусловленных рельефом поверхности, рассмотрим полуплоскость, ослабленную выемкой в форме полуокружности.

1. В поле силы тяжести находится однородная упругая полуплоскость, граница которой имеет выемку в форме полукруга единичного радиуса. Уравнения равновесия имеют вид

$$\frac{\partial \sigma_{ik}}{\partial x_k} + \rho g_i = 0, \quad (1.1)$$

где  $\rho$  — плотность;  $g_i$  — компонента вектора ускорения свободного падения. Граничными условиями является отсутствие нагрузок на границе полуплоскости и контуре выемки.

Решение задачи для полуплоскости в отсутствие выемки записывается в виде

$$\sigma_{xx}^0 = \nu \rho g \nu / (1 - \nu), \quad \sigma_{yy}^0 = \nu \rho g, \quad \sigma_{xy}^0 = 0, \quad (1.2)$$

где  $\nu$  — коэффициент Пуассона.

Общее решение (1.1) для полуплоскости с выемкой можно записать как сумму частного решения (1.2) и общего решения однородного уравнения равновесия  $\sigma_{ij} = \sigma_{ij}^0 + \sigma_{ij}^1$ . Дополнительное поле напряжений  $\sigma_{ij}^1$  должно компенсировать нагрузки  $P_i = \sigma_{ij} n_j$ , создаваемые частным решением (1.2) на контуре полуокружности.

Полагая, что ось  $x$  совпадает с границей полуплоскости, а ось  $y$  направлена вверх, на полуокружности проекции вектора нормали  $n_x = -x$ ,  $n_y = -y$  и, следовательно,  $P_x^0 = -\nu \rho g \nu / (1 - \nu)$ ,  $P_y^0 = -y^2 \rho g$ . На комплексной плоскости  $x = (z + \bar{z})/2$ ,  $y = (z - \bar{z})/(2i)$ , тогда

$$P_x^0 + iP_y^0 = -\frac{i\rho g}{4} \left( 2 - \frac{1}{1-\nu} z^2 - \frac{1-2\nu}{1-\nu} \bar{z}^2 \right), \quad |z| = 1, \quad \text{Im } z < 0.$$

Для нормальной и касательной составляющих вектора нагрузок, компенсирующего на контуре полуокружности частное решение (1.2), имеем  $N - iT = (P_x^0 - iP_y^0)z$ . Для  $\sigma_{ij}^1$  граничное условие на контуре полуокружности запишем в виде

$$N - iT = \frac{i\rho g}{4} \left( 2z - \frac{1}{1-\nu} \bar{z} - \frac{1-2\nu}{1-\nu} z^3 \right), \quad |z| = 1, \quad \text{Im } z < 0. \quad (1.3)$$

Продолжим (1.3) в область  $\text{Im } z > 0$ . Полученные нагрузки антисимметричны относительно оси  $x$ .

2. Рассмотрим неограниченную плоскость с вырезанной окружностью единичного радиуса, к контуру которой приложены нагрузки (1.3). Если (1.3) представить в виде комплексного ряда Фурье

$$N - iT = \sum_{k=-\infty}^{+\infty} A_k e^{ik\theta}, \quad (2.1)$$

то отличными от нуля будут только коэффициенты  $A_1 = i\rho g/2$ ,  $A_{-1} = -i\rho g/(4(1-\nu))$ ,  $A_3 = -i\rho g(1-2\nu)/(4(1-\nu))$ .

Пусть  $\Phi(z)$  и  $\Psi(z)$  — гомогенные вне окружности  $|z| = 1$  функции, разложение которых в ряд Лорана имеет вид  $\Phi(z) = \sum_{k=0}^{\infty} a_k z^{-k}$ ,  $\Psi(z) = \sum_{k=0}^{\infty} b_k z^{-k}$ . Тогда согласно [2]

коэффициенты  $a_k$  и  $b_k$  связаны с коэффициентами разложения (2.1) соотношениями

$$a_0 = \Gamma, \quad a_1 = \bar{A}_1/(1+\varkappa), \quad a_2 = \bar{\Gamma}' + \bar{A}_2, \quad a_n = \bar{A}_n,$$

$$b_0 = \Gamma', \quad b_1 = -\varkappa A_1/(1+\varkappa), \quad b_2 = 2\Gamma - A_0, \quad b_n = (n-1)a_{n-2} - A_{-n+2}, \quad n \geq 3,$$

где в случае плоской деформации  $\varkappa = 3-4\nu$ ;  $\Gamma, \Gamma'$  — заданные величины, характеризующие распределение напряжений на бесконечности.

В данном случае отличны от нуля только коэффициенты

$$a_1 = -\frac{i\rho g}{8(1-\nu)}, \quad a_3 = \frac{i\rho g(1-2\nu)}{4(1-\nu)}, \quad b_1 = -\frac{i\rho g(3-4\nu)}{8(1-\nu)}, \quad b_5 = \frac{i\rho g(1-2\nu)}{1-\nu}.$$

Тогда потенциалы можно записать в виде

$$\Phi(z) = -\frac{i\rho g}{8(1-\nu)} \left( \frac{1}{z} - \frac{2(1-2\nu)}{z^3} \right), \quad \Psi(z) = -\frac{i\rho g}{8(1-\nu)} \left( \frac{3-4\nu}{z} - \frac{8(1-2\nu)}{z^5} \right).$$

Поскольку тензор напряжений определяется из соотношений

$$\sigma_{xx} + \sigma_{yy} = 4\operatorname{Re} \Phi(z), \quad \sigma_{yy} - \sigma_{xx} + 2i\sigma_{xy} = 2(\bar{z}\Phi'(z) + \Psi(z)),$$

окончательно получаем

$$\begin{aligned} \sigma_{yy}^1 &= \frac{\rho g}{8(1-\nu)} \left( -(5-4\nu) \frac{\sin \varphi}{r} + \frac{\sin 3\varphi}{r} + 4(1-2\nu) \frac{\sin 3\varphi}{r^3} - 6(1-2\nu) \frac{\sin 5\varphi}{r^3} + 8(1-2\nu) \frac{\sin 5\varphi}{r^5} \right), \\ \sigma_{xy}^1 &= \frac{\rho g}{8(1-\nu)} \left( \frac{\cos 3\varphi}{r} - (3-4\nu) \frac{\cos \varphi}{r} - 6(1-2\nu) \frac{\cos 5\varphi}{r^3} + 8(1-2\nu) \frac{\cos 5\varphi}{r^5} \right), \\ \sigma_{xx}^1 &= \frac{\rho g}{8(1-\nu)} \left( (1-4\nu) \frac{\sin \varphi}{r} - \frac{\sin 3\varphi}{r} + 4(1-2\nu) \frac{\sin 3\varphi}{r^3} + 6(1-2\nu) \frac{\sin 5\varphi}{r^3} - 8(1-2\nu) \frac{\sin 5\varphi}{r^5} \right), \end{aligned} \quad (2.2)$$

где  $r = \sqrt{x^2 + y^2}$ ;  $\varphi$  — полярный угол. Для перехода от окружности единичного радиуса к окружности радиуса  $R$  необходимо в (2.2) заменить  $\rho g$  на  $\rho g R$ , а  $r$  на  $r/R$ .

Нетрудно проверить, что полученное решение (2.2) совместно с (1.2) обеспечивает на контуре окружности нулевые нагрузки. На действительной оси имеем

$$\sigma_{xy}^1 = -\frac{1-2\nu}{4(1-\nu)} \left( \frac{1}{x} + \frac{3}{x^3} - \frac{4}{x^5} \right) \rho g, \quad \sigma_{xx}^1 = \sigma_{yy}^1 = 0. \quad (2.3)$$

Таким образом, решение (2.2) не удовлетворяет граничным условиям, налагаемым на дополнительное поле  $\sigma_{ij}^1$  на действительной оси. Построим решение  $\sigma_{ij}^2$ , обеспечивающее на контуре окружности нулевые нагрузки, а на действительной оси — касательные нагрузки, компенсирующие (2.3).

**3.** Пусть в точке  $z_1 = (x_1, 0)$  ( $|z_1| > 1$ ), расположенной на действительной оси плоскости с вырезанной окружностью единичного радиуса, свободной от нагрузок, приложена сосредоточенная сила  $(P_x, P_y)$ .

Потенциалы сосредоточенной силы, приложенной в произвольной точке  $z_1$  неограниченной плоскости, имеют вид

$$\varphi(z) = -P \ln(z - z_1), \quad \psi(z) = \bar{\alpha} \bar{P} \ln(z - z_1) + \bar{z}_1 P / (z - z_1), \quad (3.1)$$

где  $P = (P_x + iP_y)/b$ ;  $b = 2\pi(1 + \alpha)$ . Если  $X, Y$  — проекции нагрузок, приложенных к контуру  $s$ , то на контуре выполняется предельное соотношение [2]

$$\varphi(z) + z\overline{\varphi'(z)} + \overline{\psi(z)} = i \int_0^z (X + iY) ds = f(z). \quad (3.2)$$

Подставляя потенциалы сосредоточенной силы (3.1) в (3.2), имеем

$$f(\sigma) = -P \left( \ln(\sigma - x_1) - \alpha \ln\left(\frac{1}{\sigma} - x_1\right) \right) + \bar{P} \left( \frac{x_1 \sigma}{1 - x_1 \sigma} - \frac{\sigma^2}{1 - x_1 \sigma} \right), \quad |\sigma| = 1. \quad (3.3)$$

Для того чтобы разгрузить контур окружности, приложим к нему нагрузки  $-f(\sigma)$ . Решение для неограниченной плоскости с вырезанной окружностью, к контуру которой приложена нагрузка, представим в форме [2]

$$\varphi(z) = -\frac{1}{2\pi i} \int_{|\sigma|=1} \frac{f(\sigma)}{\sigma - z} d\sigma, \quad \psi(z) = -\frac{1}{2\pi i} \int_{|\sigma|=1} \frac{\overline{f(\sigma)}}{\sigma - z} d\sigma - \frac{\varphi'(z)}{z}. \quad (3.4)$$

Запишем сопряженное граничное условие в виде

$$\overline{f(\sigma)} = -\bar{P} \left( \ln\left(\frac{1}{\sigma} - x_1\right) - \alpha \ln(\sigma - x_1) \right) + P \left( \frac{x_1}{\sigma - x_1} - \frac{1}{\sigma(\sigma - x_1)} \right), \quad |\sigma| = 1.$$

Подставим (3.3) и полученное выражение в (3.4). Интегралы из (3.4) вычисляются на основе теоремы и интегральной формулы Коши. После вычисления интегралов имеем

$$\begin{aligned} \varphi(z) &= -P\alpha \ln\left(1 - \frac{1}{x_1 z}\right) - \bar{P} \left( \frac{1}{1 - x_1 z} - \frac{1}{x_1^2(1 - x_1 z)} \right), \\ \psi(z) &= \bar{P} \ln\left(1 - \frac{1}{x_1 z}\right) - P \frac{1}{x_1 z} - \frac{\varphi'(z)}{z}, \quad |z| > 1. \end{aligned} \quad (3.5)$$

Объединяя (3.1) и (3.5), получаем потенциалы, соответствующие сосредоточенной силе, приложенной в точке действительной оси плоскости с вырезанной окружностью, контур которой свободен от нагрузок:

$$\varphi(z) = W_1(z, x_1)P_x + iW_2(z, x_1)P_y, \quad \psi(z) = W_3(z, x_1)P_x + iW_4(z, x_1)P_y, \quad (3.6)$$

где

$$\begin{aligned} bW_1(z, x_1) &= -\ln(z - x_1) - \alpha \ln\left(1 - \frac{1}{x_1 z}\right) + \frac{1 - x_1^2}{x_1^2(1 - x_1 z)}, \\ bW_2(z, x_1) &= -\ln(z - x_1) - \alpha \ln\left(1 - \frac{1}{x_1 z}\right) - \frac{1 - x_1^2}{x_1^2(1 - x_1 z)}, \\ bW_3(z, x_1) &= \alpha \ln(z - x_1) + \frac{x_1}{z - x_1} + \ln\left(1 - \frac{1}{x_1 z}\right) - \frac{1 - x_1^2}{x_1 z(1 - x_1 z)^2} - \frac{\alpha}{z^2(1 - x_1 z)} - \frac{1}{x_1 z}, \end{aligned}$$

$$bW_4(z, x_1) = -\varkappa \ln(z - x_1) + \frac{x_1}{z - x_1} - \ln\left(1 - \frac{1}{x_1 z}\right) + \frac{1 - x_1^2}{x_1 z(1 - x_1 z)^2} - \frac{\varkappa}{z^2(1 - x_1 z)} - \frac{1}{x_1 z}.$$

На оси абсцисс потенциалам (3.6) наряду с сосредоточенной силой соответствует и распределенная нагрузка.

4. Пусть на границе  $L$ , состоящей из лучей  $[-\infty, -1]$  и  $[1, \infty]$ , принадлежащих действительной оси, заданы непрерывные функции  $p(t)$  и  $\tau(t)$ . Тогда потенциалам

$$\varphi(z) = \int_L (W_1(z, t)\tau(t) + iW_2(z, t)p(t)) dt, \quad \psi(z) = \int_L (W_3(z, t)\tau(t) + iW_4(z, t)p(t)) dt,$$

гомогенным вне единичной окружности, соответствуют нулевые нагрузки на ее контуре. Из построенных потенциалов образуем функционал

$$\varphi(z) + z\overline{\varphi'(z)} + \overline{\psi(z)} = \int_L (\Omega_1(z, t)\tau(t) + i\Omega_2(z, t)p(t)) dt, \quad (4.1)$$

где

$$\begin{aligned} b\Omega_1(z, t) &= -\ln(z - t) + \varkappa \ln(\bar{z} - t) - \varkappa \ln\left(1 - \frac{1}{tz}\right) + \ln\left(1 - \frac{1}{t\bar{z}}\right) - \frac{z - t}{\bar{z} - t} + \\ &\quad + \left(z - \frac{1}{\bar{z}}\right) \left(\frac{1 - t^2}{t(1 - t\bar{z})^2} + \frac{\varkappa}{\bar{z}(1 - t\bar{z})}\right) + \frac{1 - t^2}{t^2(1 - tz)} - \frac{1}{t\bar{z}}, \\ b\Omega_2(z, t) &= -\ln(z - t) + \varkappa \ln(\bar{z} - t) - \varkappa \ln\left(1 - \frac{1}{tz}\right) + \ln\left(1 - \frac{1}{t\bar{z}}\right) + \frac{z - t}{\bar{z} - t} + \\ &\quad + \left(z - \frac{1}{\bar{z}}\right) \left(\frac{1 - t^2}{t(1 - t\bar{z})^2} - \frac{\varkappa}{\bar{z}(1 - t\bar{z})}\right) - \frac{1 - t^2}{t^2(1 - tz)} + \frac{1}{t\bar{z}}, \end{aligned}$$

Продифференцируем (4.1) по  $x$  на действительной оси. В силу (3.2) для левой части равенства (4.1) имеем

$$\frac{d}{dx} (\varphi(z) + z\overline{\varphi'(z)} + \overline{\psi(z)}) = iX - Y. \quad (4.2)$$

Значение подынтегрального выражения правой части (4.1) зависит от того, из какой полуплоскости осуществляется предельный переход на действительную ось. В выражении вида  $\lim_{y \rightarrow \pm 0} (d\Omega_k(z, t)/dx)$  многозначными являются члены, содержащие логарифмическую функцию, так как  $\lim_{y \rightarrow 0} (d \ln(x \pm iy - t)/dx) = 1/(x - t) \mp i\pi\delta(x - t)$ . Верхний знак соответствует переходу из верхней полуплоскости.

Осуществив переход на действительную ось, получим

$$b \frac{d}{dx} \Omega_i(x, t) = \pm i\pi(1 + \varkappa)\delta(x - t) - \frac{1 - \varkappa}{x - t} + K_i(x, t), \quad (4.3)$$

где

$$\begin{aligned} K_1(x, t) &= \frac{1}{1 - tx} \left(\frac{2\varkappa}{x^3} - \frac{1 - \varkappa}{x}\right) + \frac{1}{tx^2} + \frac{2(1 - t^2)}{(1 - tx)^3} \left(x - \frac{1}{x}\right) - \\ &\quad - \frac{1}{(1 - tx)^2} \left(2t - \frac{2}{t} - \frac{1}{tx^2} + \frac{t}{x^2} - \varkappa t + \frac{\varkappa t}{x^2}\right), \\ K_2(x, t) &= \frac{1}{1 - tx} \left(-\frac{2\varkappa}{x^3} - \frac{1 - \varkappa}{x}\right) - \frac{1}{tx^2} + \frac{2(1 - t^2)}{(1 - tx)^3} \left(x - \frac{1}{x}\right) + \frac{1}{(1 - tx)^2} \left(\frac{1}{tx^2} - \frac{t}{x^2} - \varkappa t + \frac{\varkappa t}{x^2}\right). \end{aligned}$$

Из (4.1)–(4.3) после разделения действительной и мнимой частей для функций  $p(t)$  и  $\tau(t)$  получаем сингулярные уравнения с ядрами типа Коши

$$\begin{aligned} \pm\pi(1+\varkappa)\tau(x) - (1-\varkappa) \int_L \frac{p(t)}{x-t} dt + \int_L K_2(x,t)p(t) dt &= bX^\pm, \\ \pm\pi(1+\varkappa)p(x) + (1-\varkappa) \int_L \frac{\tau(t)}{x-t} dt - \int_L K_1(x,t)\tau(t) dt &= bY^\pm. \end{aligned} \quad (4.4)$$

Таким образом, надлежащим выбором функций  $p(t)$  и  $\tau(t)$  можно удовлетворить заданным нагрузкам на  $L$ .

5. Если в (3.1) положить  $\varkappa = 1$ ,  $b = 2\pi$ , то получим потенциалы сосредоточенной силы, приложенной к границе полуплоскости [2]. После такой подстановки потенциалы (3.6) можно рассматривать как потенциалы сосредоточенной силы, приложенной к границе полуплоскости, имеющей выемку в виде полуокружности, контур которой свободен от нагрузок. В этом случае (4.4) преобразуется к виду

$$\tau(x) - \int_L K_2(x,t)p(t) dt = X, \quad p(x) + \int_L K_1(x,t)\tau(t) dt = Y, \quad (5.1)$$

где

$$\begin{aligned} 2\pi K_1(x,t) &= \frac{2}{(1-tx)x^3} + \frac{1}{tx^2} + \frac{2(1-t^2)}{(1-tx)^3} \left(x - \frac{1}{x}\right) + \frac{1}{(1-tx)^2} \left(-t + \frac{2}{t} + \frac{1}{tx^2} - \frac{2t}{x^2}\right), \\ 2\pi K_2(x,t) &= -\frac{2}{(1-tx)x^3} - \frac{1}{tx^2} + \frac{2(1-t^2)}{(1-tx)^3} \left(x - \frac{1}{x}\right) + \frac{1}{(1-tx)^2} \left(\frac{1}{tx^2} - t\right). \end{aligned}$$

Знак проекций нагрузок  $X$ ,  $Y$  изменен, поскольку при движении по действительной оси в положительном направлении область остается справа, а не слева. В отличие от (4.3) ядра  $K_1(x,t)$  и  $K_2(x,t)$  включают множитель  $2\pi$ .

Запишем ядра полученных уравнений в виде рядов по степеням  $x$

$$2\pi K_1(x,t) = \sum_{k=2}^{\infty} S_k^1 x^{-k}, \quad 2\pi K_2(x,t) = \sum_{k=2}^{\infty} S_k^2 x^{-k},$$

где  $S_2^1 = 2t^{-1}$ ,  $S_3^1 = 4t^{-2} - 2t^{-4}$ ,  $S_k^1 = (k-1)(k-2)(-t^{-1} + 2t - t^3)t^{-k}$ ,  $S_2^2 = -2t^{-3}$ ,  $S_3^2 = 4t^{-2} - 6t^{-4}$ ,  $S_k^2 = (k-1)(-kt^{-1} + 2(k-2)t - (k-4)t^3)t^{-k}$ ,  $k \geq 4$ .

С учетом структуры ядер и равенства

$$\int_L t^{-n} dt = \begin{cases} 2/(n-1), & n = 0, 2, 4, \dots, 2k, \\ 0, & n = 1, 3, 5, \dots, 2k+1, \end{cases} \quad L = [-\infty, -1] \cup [1, \infty]$$

можно показать, что если  $X$  — нечетная, а  $Y$  — четная функции относительно  $x$ , то  $\tau(x) = -\tau(-x)$ ,  $p(x) = p(-x)$ . Плотности потенциалов будем искать в виде

$$\tau(x) = \sum_{n=0}^{\infty} \frac{\alpha_{2n+1}}{x^{2n+1}}, \quad p(x) = \sum_{n=1}^{\infty} \frac{\beta_{2n}}{x^{2n}}. \quad (5.2)$$

Тогда уравнения (5.1) можно переписать следующим образом:

$$X = \sum_{n=0}^{\infty} \frac{\alpha_{2n+1}}{x^{2n+1}} - \frac{1}{2\pi} \sum_{k=1}^{\infty} \frac{1}{x^{2k+1}} \sum_{m=0}^{\infty} \beta_{2m} \int_L S_{2k+1}^2(t) t^{-2m} dt, \quad (5.3)$$

$$Y = \sum_{n=1}^{\infty} \frac{\beta_{2n}}{x^{2n}} + \frac{1}{2\pi} \sum_{k=2}^{\infty} \frac{1}{x^{2k}} \sum_{m=0}^{\infty} \alpha_{2m+1} \int_L S_{2k}^1(t) t^{-2m-1} dt.$$

Если  $X_{2k+1}, Y_{2k}$  — коэффициенты разложения нагрузок в ряды, аналогичные (5.2), то, приравнявая в (5.3) слагаемые при одинаковых степенях  $x$ , получаем бесконечную систему линейных алгебраических уравнений относительно  $\alpha_k$  и  $\beta_k$

$$\begin{aligned} \alpha_{2k+1} - \sum_{m=1}^{\infty} \beta_{2m} B_{2m}^{2k+1} &= X_{2k+1}, & k = 0, 1, 2, \dots, \infty, \\ \beta_{2k} + \sum_{m=0}^{\infty} \alpha_{2m+1} A_{2m+1}^{2k} &= Y_{2k}, & k = 1, 2, 3, \dots, \infty, \end{aligned} \tag{5.4}$$

где

$$\begin{aligned} \pi A_{2m+1}^2 &= \frac{2}{2m+1}, & B_{2m}^1 &= 0, & \pi B_{2m}^3 &= \frac{4}{2m+1} - \frac{6}{2m+3}, \\ \pi A_{2m+1}^{2k} &= (2k-1)(2k-2) \left( -\frac{1}{2m+2k+1} + \frac{2}{2m+2k-1} - \frac{1}{2m+2k-3} \right), \\ \pi B_{2m}^{2k+1} &= 2k \left( -\frac{2k+1}{2m+2k+1} + \frac{2(2k-1)}{2m+2k-1} - \frac{2k-3}{2m+2k-3} \right), & k &\geq 2. \end{aligned}$$

Для того чтобы компенсировать на  $L$  напряжения (2.3), положим в правой части (5.4) отличными от нуля коэффициенты  $X_1 = 1, X_3 = 3, X_5 = -4$ . Тогда коэффициенты  $\alpha_k$  и  $\beta_k$  будут зависеть только от индекса  $k$ , а характеристики среды войдут в решение (5.2) в виде множителя  $h = 0,25\rho g(1 - 2\nu)/(1 - \nu)$ .

Если в бесконечной системе (5.4) оставить только первые  $M$  членов разложения (5.2), то ее решение, например методом Гаусса с выбором главного элемента, не вызывает затруднений. При  $M \rightarrow \infty$  решение сходится, а начиная с пятого-шестого члена  $\alpha_k$  и  $\beta_k$  уменьшаются как  $M^{-1}$ .

**6.** Зная  $\alpha_k$  и  $\beta_k$ , можно определить напряженное состояние в каждой точке полуплоскости. При этом удобнее перейти к потенциалам  $\Phi(z) = \varphi'(z)$  и  $\Psi(z) = \psi'(z)$ :

$$\Phi(z) = \int_L (U_1(z, t)\tau(t) + iU_2(z, t)p(t)) dt, \quad \Psi(z) = \int_L (U_3(z, t)\tau(t) + iU_4(z, t)p(t)) dt, \tag{6.1}$$

где

$$\begin{aligned} 2\pi U_1(z, t) &= \frac{1}{t-z} + \frac{1}{z(1-zt)} + \frac{1-t^2}{t(1-zt)^2}, & 2\pi U_2(z, t) &= \frac{1}{t-z} + \frac{1}{z(1-zt)} - \frac{1-t^2}{t(1-zt)^2}, \\ 2\pi U_3(z, t) &= -\frac{1}{t-z} - \frac{t}{(z-t)^2} - \frac{1}{z(1-zt)} + \\ &\quad + \frac{2}{z^3(1-tz)} + \frac{1-t^2}{tz^2(1-tz)^2} - \frac{t}{z^2(1-tz)^2} - \frac{2(1-t^2)}{z(1-tz)^3} + \frac{1}{tz^2}, \\ 2\pi U_4(z, t) &= \frac{1}{t-z} - \frac{t}{(z-t)^2} + \frac{1}{z(1-zt)} + \frac{2}{z^3(1-tz)} - \frac{1}{tz^2(1-tz)^2} + \frac{2(1-t^2)}{z(1-tz)^3} + \frac{1}{tz^2}. \end{aligned}$$

Определим следующие интегралы [3]:

$$I_{2n+1} = \int_L \frac{dt}{t^{2n+1}(t-z)} = \frac{1}{z^{2n+1}} \left( \ln \left( \frac{z+1}{z-1} \right) - i\pi \right) - \sum_{k=1}^n \frac{2}{(2n-2k+1)z^{2k}},$$

$$\begin{aligned}
I_{2n} &= \int_L \frac{dt}{t^{2n}(t-z)} = \frac{1}{z^{2n}} \left( \ln \left( \frac{z+1}{z-1} \right) - i\pi \right) - \sum_{k=1}^n \frac{2}{(2n-2k+1)z^{2k-1}}, \\
J_{2n+1} &= \int_L \frac{dt}{t^{2n+1}(1-zt)} = -z^{2n} \ln \left( \frac{z+1}{z-1} \right) + \sum_{k=1}^n \frac{2z^{2k-1}}{2n-2k+1}, \\
J_{2n} &= \int_L \frac{dt}{t^{2n}(1-zt)} = -z^{2n-1} \ln \left( \frac{z+1}{z-1} \right) + \sum_{k=1}^n \frac{2z^{2k-2}}{2n-2k+1}, \quad n = 0, 1, 2, \dots, \infty, \\
R_0 &= 2/(z^2-1), \quad Q_0 = -2/(z^2-1), \quad H_0 = -2/(z^2-1)^2, \quad H_{-1} = -2z/(z^2-1)^2, \\
R_n &= \int_L \frac{dt}{t^n(1-zt)^2} = nz^{n-1} \left( \frac{2z}{z^2-1} - \ln \left( \frac{z+1}{z-1} \right) \right) - \\
&\quad - \sum_{k=1}^{n-1} \frac{nz^{k-1}}{(n-k)(n-k+1)} \left( \frac{(-1)^{n-k}}{1+z} - \frac{1}{1-z} \right), \\
Q_n &= \int_L \frac{dt}{t^n(z-t)^2} = -\frac{n}{z^n} \left( \frac{2}{z^2-1} + \frac{1}{z} \left( \ln \left( \frac{z+1}{z-1} \right) - i\pi \right) \right) - \\
&\quad - \sum_{k=1}^{n-1} \frac{n}{(n-k)(n-k+1)z^k} \left( \frac{(-1)^{n-k}}{z+1} - \frac{1}{z-1} \right), \\
H_n &= \int_L \frac{dt}{t^n(1-zt)^3} = \frac{n(n+1)z^{n-1}}{2} \left( \frac{2z(z^2-2)}{(z^2-1)^2} - \ln \left( \frac{z+1}{z-1} \right) \right) - \\
&\quad - \sum_{k=1}^{n-1} \frac{n(n+1)(n-k)^{-1}z^{k-1}}{(n-k+1)(n-k+2)} \left( \frac{(-1)^{n-k}}{(1+z)^2} - \frac{1}{(1-z)^2} \right), \quad n = 1, 2, \dots, \infty.
\end{aligned} \tag{6.2}$$

В выражениях для  $J_n$ ,  $R_n$ ,  $H_n$  содержатся разности степенных функций  $z^n$ . Для больших  $z$  и  $n$  расчеты при конечнозначной арифметике становятся невозможными вследствие стремительно растущих погрешностей. Поэтому для  $z > 1$  применим другие выражения, полученные из (6.2) разложением в ряды:

$$\begin{aligned}
J_{2n+1} &= -2 \sum_{k=0}^{\infty} \frac{z^{-2k-1}}{2n+2k+1}, & J_{2n} &= -2 \sum_{k=0}^{\infty} \frac{z^{-2k-2}}{2n+2k+1}, \\
R_{2n+1} &= 2 \sum_{k=0}^{\infty} \frac{(2k+2)z^{-2k-3}}{2n+2k+3}, & R_{2n} &= 2 \sum_{k=0}^{\infty} \frac{(2k+1)z^{-2k-2}}{2n+2k+1}, \\
H_{2n+1} &= - \sum_{k=0}^{\infty} \frac{(2k+1)(2k+2)z^{-2k-3}}{2n+2k+3}, & H_{2n} &= - \sum_{k=0}^{\infty} \frac{(2k+2)(2k+3)z^{-2k-4}}{2n+2k+3}.
\end{aligned}$$

Подставляя (5.2) в (6.1) и учитывая (6.2), получаем искомые потенциалы

$$\frac{2\pi}{h} \Phi(z) = \sum_{n=0}^{\infty} \alpha_{2n+1} \left( I_{2n+1} + \frac{J_{2n+1}}{z} + R_{2n+2} - R_{2n} \right) + i \sum_{n=1}^{\infty} \beta_{2n} \left( I_{2n} + \frac{J_{2n}}{z} - R_{2n+1} + R_{2n-1} \right),$$

$$\frac{2\pi}{h} \Psi(z) = i \sum_{n=1}^{\infty} \beta_{2n} \left( I_{2n} - Q_{2n-1} + \left( \frac{1}{z} + \frac{2}{z^3} \right) J_{2n} - \frac{R_{2n+1}}{z^2} + \frac{2}{z} (H_{2n} - H_{2n-2}) \right) + \quad (6.3)$$

$$+ \sum_{n=0} \alpha_{2n+1} \left( -I_{2n+1} - Q_{2n} - \left( \frac{1}{z} - \frac{2}{z^3} \right) J_{2n+1} + \frac{1}{z^2} (R_{2n+2} - 2R_{2n}) - \frac{2}{z} (H_{2n+1} - H_{2n-1}) + \frac{2}{z^2(2n+1)} \right).$$

Таким образом, напряжения в упругой полуплоскости с выемкой в форме полукруга, находящейся в поле силы тяжести, есть сумма напряжений (1.2), (2.2) и (6.3). Из симметрии задачи следует, что  $\sigma_{xx}$  и  $\sigma_{yy}$  — четные функции относительно  $x$ , а  $\sigma_{xy}$  — нечетная.

7. Полные напряжения представим в виде  $\sigma_{ij} = \sigma_{ij}^0 + \sigma_{ij}^1 + \sigma_{ij}^2$ , где  $\sigma_{ij}^2$  — напряжения, вычисленные по (6.3). Расчеты проводились для выемки с радиусом  $R$ ; координаты отнесены к радиусу, а напряжения — к  $\rho g R$ .

На рис. 1 приведены напряжения  $\sigma_{xx}^2$  (кривая 1) и  $\sigma_{xy}^1$  (кривая 2) на границе  $y = 0$ . Напряжения отнесены к  $2h$  (здесь  $2h = 0,5\rho g R(1 - 2\nu)/(1 - \nu)$ ) и не зависят от характеристик среды. В силу граничных условий напряжения  $\sigma_{yy}^2$  равны нулю, а  $\sigma_{xy}^2(x, 0) = -\sigma_{xy}^1(x, 0)$ . С учетом (1.2) и (2.2) получаем, что кривая 1 (рис. 1) соответствует единственной отличной от нуля на этой границе компоненте тензора полных напряжений.

Погрешность вычислений по (6.3) связана в основном с тем, что при решении бесконечной системы (5.4) приходится ограничиваться конечным числом неизвестных. Однако заметной эта погрешность становится лишь в окрестности угловых точек  $(\pm R, 0)$ .

При расчетах в системе (5.4) удерживалось 200 членов. Начиная с  $M = 25$  распределения напряжений фактически не зависят от числа удерживаемых членов, за исключением компоненты  $\sigma_{xx}^2$  в интервале  $-1,32R \leq x \leq -R$ . При увеличении размерности системы решение медленно сходится к значению  $\sigma_{xx}^2(-R, 0) = 0$ , которое следует из граничных условий на полуокружности. В указанном интервале проведена полиномиальная интерполяция.

Материал вблизи границы находится в состоянии сжатия, поскольку  $\sigma_{kk} < 0$ . При  $x \approx -1,74R$  сжатие достигает максимальных значений  $\sigma_{xx} \approx -0,2\rho g R(1 - 2\nu)/(1 - \nu)$ . Если  $x \rightarrow \infty$ , то  $\sigma_{xx} \sim -(R/x)^2$ .

В построенном решении  $\sigma_{ij}^2$ , сумма  $\sigma_{ij}^0$  и  $\sigma_{ij}^1$  на контуре полуокружности дают нулевые нагрузки, а значит, в полярной системе координат отличной от нуля будет только компонента тензора напряжений  $\sigma_{\varphi\varphi}$ , зависимость которой от полярного угла  $\varphi$  приведена на рис. 2 (кривая 1 —  $\sigma_{\varphi\varphi}^2$ , кривая 2 —  $\sigma_{\varphi\varphi}^0 + \sigma_{\varphi\varphi}^1$ , кривая 3 — сумма напряжений (1.2), (2.2) и (6.3)).

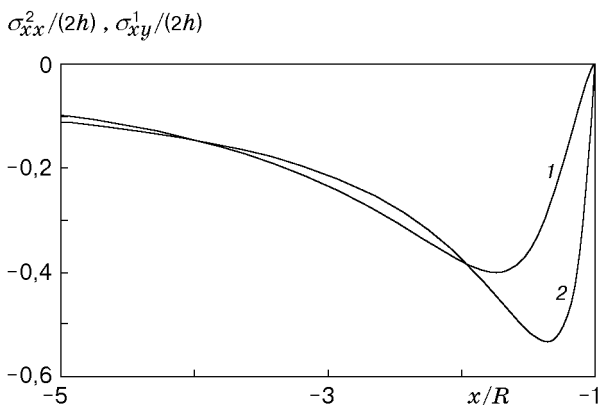


Рис. 1

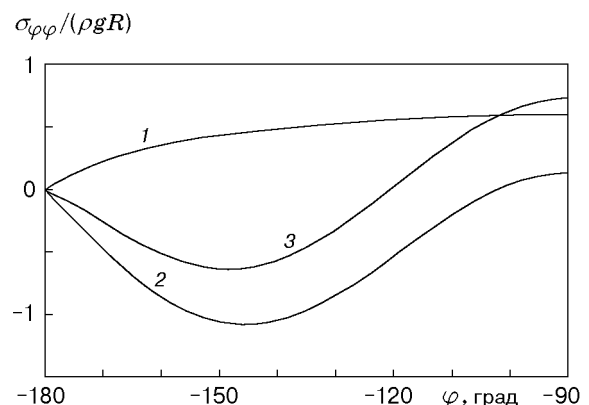


Рис. 2



В расчетах коэффициент Пуассона полагался равным 0,2. При отклонении  $\pm 30^\circ$  от вертикали контур выемки находится в состоянии растяжения, остальные участки контура — в состоянии сжатия.

На дне выемки в точке  $(0, -R)$  решение (6.3) дает единственную отличную от нуля компоненту тензора напряжений  $\sigma_{xx}^2/(2h) = 1,59$ . Для полного тензора напряжений (суммы (1.2), (2.2) и (6.3)) можно записать

$$\sigma_{xx} = 0,5\rho gR((1 - 4\nu) + 1,59(1 - 2\nu))/(1 - \nu), \quad \sigma_{yy} = \sigma_{xy} = 0.$$

Концентрация напряжений в данной точке достигает значительной величины и определяется коэффициентом Пуассона. Дно выемки может быть в состоянии как растяжения ( $\sigma_{xx} = 1,04\rho gR$  при  $\nu = 0,1$ ), так и сжатия ( $\sigma_{xx} = -0,235\rho gR$  при  $\nu = 0,4$ ). Смена типов напряжений происходит при  $\nu = 0,361$ .

Среднее нормальное напряжение имеет вид  $P = -(\sigma_{xx} + \sigma_{yy})/2$ . Применяя полиномиальную аппроксимацию к результатам расчета по (6.3) и учитывая вклад напряжений (1.2) и (2.2), средние нормальные напряжения на прямой  $x = 0$  представим в виде

$$P(\xi) = -\frac{\rho g R}{2(1 - \nu)} \left( \xi - \frac{1}{2\xi} - \frac{1 - 2\nu}{\xi^3} - (1 - 2\nu) \left( \frac{0,494}{\xi} - \frac{1,301}{\xi^2} - \frac{2,239}{\xi^3} - \frac{2,133}{\xi^4} - \frac{1,194}{\xi^5} - \frac{0,3}{\xi^6} \right) \right),$$

где  $\xi = y/R$ . При  $\nu < 0,361$  в окрестности дна выемки возникает зона растягивающих напряжений, в которой  $P < 0$ . Глубина этой зоны довольно существенна, при  $\nu = 0,1$  она достигает значения  $-1,275R$ , а при  $\nu = 0,25$  — значения  $-1,135R$ .

Напряжение (1.2) возрастает по линейному закону с увеличением глубины. На (1.2) накладывается дополнительное поле напряжений  $(\sigma_{ij}^1 + \sigma_{ij}^2)$ , убывающее по мере удаления от выемки не медленнее, чем  $r^{-1}$ . На рис. 3, а-в приведены изолинии дополнительного поля напряжений  $\sigma_{xx}$ ,  $\sigma_{yy}$ ,  $\sigma_{xy}$ . Вычисления проводились при  $\nu = 0,2$ . Как и ранее, напряжения отнесены к  $\rho g R$ .

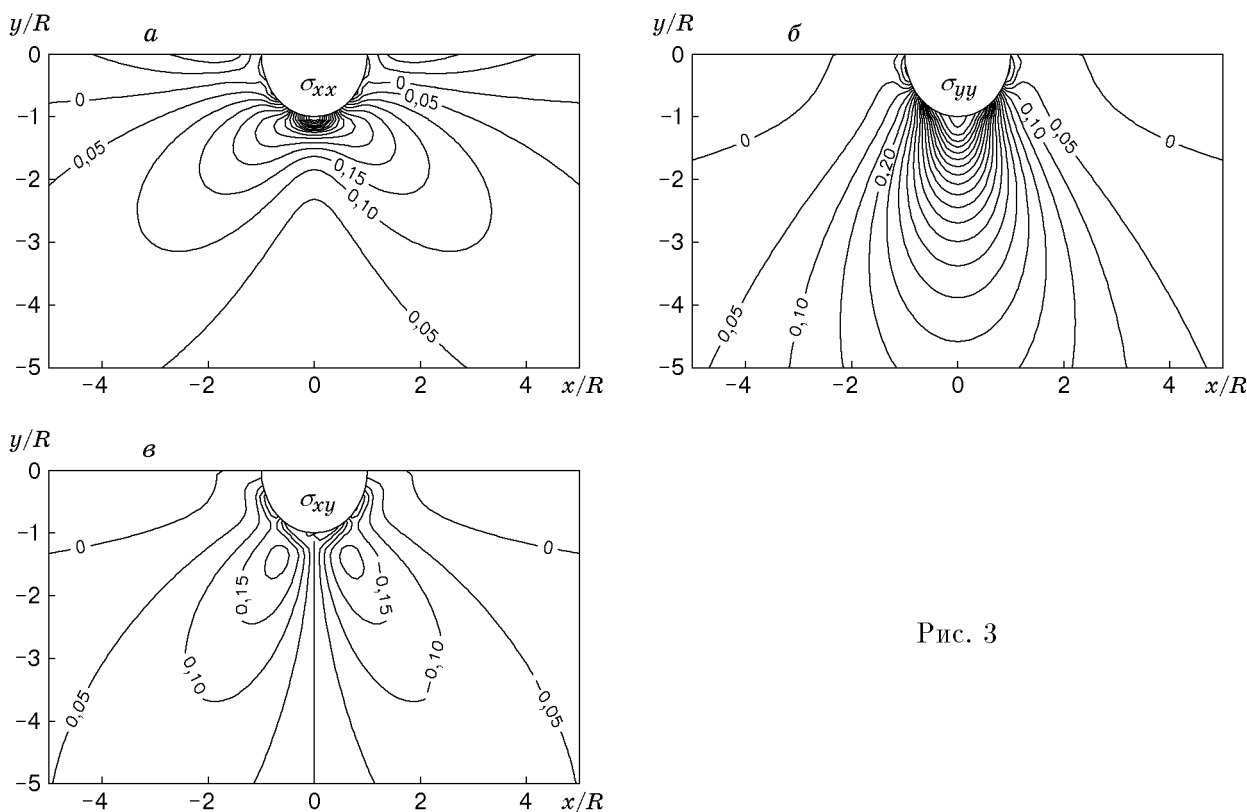


Рис. 3

В узких зонах, примыкающих к границе  $y = 0$ , осуществляется сжатие в горизонтальном направлении ( $\sigma_{xx}^1 + \sigma_{xx}^2 < 0$ ), в остальной полуплоскости — растяжение ( $\sigma_{xx}^1 + \sigma_{xx}^2 > 0$ ) (рис. 3,а). Влияние выемки быстро уменьшается при удалении от нее. Максимальные значения напряжения  $\sigma_{xx}$  достигаются на дне выемки и на лучах, расположенных под углами  $\pi/4$  и  $-\pi/4$  к осям координат.

Под выемкой происходит локализация напряжений  $\sigma_{yy}$  дополнительного поля (рис. 3,б) и вследствие этого растяжение материала в вертикальном направлении ( $\sigma_{yy}^1 + \sigma_{yy}^2 > 0$ ). Максимальное значение  $\sigma_{yy}$ , достигаемое на дне выемки, в соответствии с граничными условиями равно  $\rho g R$ .

Лепестки изолиний напряжений  $\sigma_{xy}$  дополнительного поля вытянуты под углами  $\pi/3$  и  $-\pi/3$  (рис. 3,в). Максимальное значение  $\sigma_{xy} = 0,28\rho g R$  достигается не на контуре выемки, а в точках с координатами  $(\pm 0,7R; -1,46R)$ .

Таким образом, выемка является концентратором напряжений. Влияние выемки на напряженное состояние горных пород локально, на глубине  $5R$  вклад в средние нормальные напряжения составляет 3,3 %, что, например, при  $\rho = 2,55 \text{ г/см}^3$  и  $R = 200 \text{ м}$  равно 5 МПа. Такие градиенты могут стать причиной перераспределения флюидов, насыщающих продуктивные пласты, создавая для них своего рода потенциальные ловушки.

## ЛИТЕРАТУРА

1. **Сибиряков Б. П., Заикин А. Д.** Многоволновая сейсморазведка и прикладная геодинамика в нефтегазоносных областях // Геология и геофизика. 1994. № 5. С. 49–55.
2. **Мусхелишвили Н. И.** Некоторые основные задачи математической теории упругости. М.: Наука, 1966.
3. **Градштейн И. С., Рыжик И. М.** Таблицы интегралов, сумм, рядов и произведений. М.: Наука, 1971.

*Поступила в редакцию 16/IV 1998 г.,  
в окончательном варианте — 23/IX 1998 г.*